

# 红细胞胞质因子对 K<sub>562</sub> 细胞分化及其核基质 — 中间纤维体系影响的研究\*

马文丽 薛社普

(中国医学科学院基础医学研究所, 北京 100005)

**摘要** 利用转基因与细胞融合相结合的方法, 使无核的兔网织红细胞转入可供筛选的标记基因, 并使之与红白血病细胞 K<sub>562</sub> 融合, 成功地筛选出胞质杂交体 K-RR<sub>neo</sub> 细胞; 以 K-RR<sub>neo</sub> 细胞为研究对象, 采用分子杂交、RT-PCR、DNA 测序及免疫印迹技术, 系统地研究了细胞杂交前后的生长、分化特征及其中间纤维体系的变化规律。结果表明, 网织红细胞胞质中确实存在红细胞胞质因子, 通过对相关基因表达的调控, 可抑制红系肿瘤细胞的生长, 并促进其分化, 同时引起中间纤维主要成分波形纤维蛋白的改变, 出现排核前征兆。

**关键词** 转基因 细胞融合 K<sub>562</sub> 细胞 生长分化 核基质-中间纤维体系

终末分化期出现自然排核独特特征的哺乳类红细胞在其生长、分化、排核过程中的形态、生化组分及功能活动的典型变化, 是研究造血系统肿瘤细胞恶性调控的理想模型。近年来, 薛社普等<sup>[1]</sup>利用这一模型, 采用网织红细胞与骨髓瘤细胞进行同种或异种间杂交, 并对杂交前后骨髓瘤细胞的恶性表型等一系列指标进行了比较研究, 结果发现, 骨髓瘤细胞的恶性逆转与网织红细胞胞质中存在的一种与自然排核、终末分化密切相关的胞质因子(又称为红细胞去核分化因子, Erythroid Denucleation Differentiation Factor, EDDF)有关。为进一步研究 EDDF 对红系肿瘤细胞的恶性调控作用及其与基因表达、细胞分化密切相关的核基质-中间纤维体系在这一过程中所起的作用, 利用人红系来源的红白血病细胞 K<sub>562</sub> 与兔网织红细胞融合, 比较研究 K<sub>562</sub> 细胞杂交前后生长分化特性的改变。前文已报道杂交后核基质-中间纤维体系的超微结构改变<sup>[2]</sup>, 本文着重报道分子生物学方面的结果, 包括基因表达调控、细胞骨架体系中的中间纤维及其主要组分波形纤维蛋白(vimentin)在细胞杂交前后的变化规律, 为揭示哺乳类红细胞自然排核机制提供依据。

## 1 材料与方法

### 1.1 材料

#### 1.1.1 细胞的准备 K<sub>562</sub> 细胞培养于含胎牛血清及小牛血清各 5% 的 RPMI-1640 培养基

1993-10-19 收稿, 1994-05-04 收修改稿

\* 国家自然科学基金重点资助项目

中, 兔网织红细胞的制备采用皮下注射盐酸苯肼的方法<sup>[2]</sup>.

**1.1.2 基因及探针的制备** neo 基因来自质粒 pSV<sub>neo</sub><sup>[3]</sup>, Vimentin cDNA 探针购自 ATCC (Cat No 59757) 公司,  $\beta$ -珠蛋白及 c-myc 基因控针分别来自质粒 pBR:  $\beta$ S<sup>[4]</sup> 及 phc-myc<sup>[5]</sup>.

质粒纯化按常规超速离心法<sup>[6]</sup>, 经紫外分光光度仪定量, -20℃ 保存, 备用.

探针标记采用非同位素标记试剂盒 (BioNick labelling kit, GIBCO-BRL), 取待标记 DNA 1 μg, 按试剂盒要求, 加 Biotin<sup>14</sup>-dATP 于 14℃ 反应 1 h 后, 以 Sephadex G50 离心柱纯化生物素化探针, 并用 DNA detection kit (GIBCO-BRL) 检测标记效率.

## 1.2 方法

**1.2.1 转基因过程** 取纯化的 pSV<sub>neo</sub> 质粒 40 μg, 常规乙醇沉淀后, 于 70% 乙醇 4℃ 浸洗过夜, 离心收集沉淀, 超净台内干燥, 加入无菌注射用水 100 μL 使质粒溶解.

导入基因采用脂质素转基因系统 (Lipofectin, GIBCO-BRL). 取 50 μL Lipofectin 试剂加入 50 μL 注射用水, 混匀, 然后与等量的 pSV<sub>neo</sub> 质粒溶液轻轻混合, 静置 20 min 后, 缓缓加至已备好的兔网织红细胞中(计数为  $1.2 \times 10^6$ ), 于 37℃, 5% CO<sub>2</sub> 培养箱中孵育 5~24 h, 即可通过脂质体介导作用而将 neo 基因导入兔网织红细胞中. 导入 neo 基因的兔网织红细胞称为 RR<sub>neo</sub>, 用于与 K<sub>562</sub> 细胞融合.

**1.2.2 细胞融合及杂交细胞的筛选** K<sub>562</sub> 细胞与 RR<sub>neo</sub> 细胞的比例为 1:5~10, 促融合剂 PEG 分子量为 1450 (Sigma), 按常规 PEG 促融法使两者融合, 24 h 后接种于含 G<sub>418</sub> 500 μg/mL 及 20% 胎牛血清的 RPMI-1640 培养基中, 于 37℃, 5% CO<sub>2</sub> 孵箱内培养 14~20 d, 常规方法制作融合前后细胞的生长曲线.

**1.2.3 Northern 印迹方法** 参阅文献[6], 按常规步骤进行.

**1.2.4 RT-PCR 及 DNA 测序** 分别提取兔网织红细胞、K<sub>562</sub> 细胞及 K-RR<sub>neo</sub> 细胞的 RNA, 于 90℃ 变性 5 min 后迅速浸于冰浴; 在 DEPC (diethyl pyrocarbonate) 处理过的 Eppendorf 管中, 加入 RNA 样品 1~5 μL, dNTP 各 1 mmol/L, RNasin 1 单位/μL, 六碱基随机引物 10 pmol, 逆转录酶 200 单位, 1×PCR 缓冲液 (参阅 BRL 的逆转录 Kit 说明书), 总反应体积为 20 μL, 依次于 23℃, 10 min; 42℃, 60 min; 95℃, 5~10 min, 迅速浸于冰浴. 加入 80 μL 1×PCR 缓冲液, 含 50 pmol 的 P<sub>1</sub>, P<sub>2</sub> 引物及 1~2 单位的 Taq DNA 聚合酶, 然后进入 PCR 扩增 (参阅 Promega 的 PCR 扩增 Kit 说明书), 扩增条件为 95℃, 30 s; 55℃, 90 s; 72℃, 60 s, 循环 25~30 次, 特异扩增  $\beta$ -珠蛋白 cDNA 的一对引物序列为 P<sub>1</sub>: 5' GGA TCT GTC CAC TCC TGA TG 3'; P<sub>2</sub>: 5' TCC ACG TGC AGC TTG TCA CA 3', 扩增结果以 1.5% 琼脂糖凝胶电泳进行检测.

以 DEAE-Cellulose 滤纸回收扩增出的 PCR 产物, 并利用 SureClone ligation kit (Pharmacia) 使之克隆于 pUC 18 Sam I/BAP 载体中, 常规方法测定扩增的 DNA 序列.

**1.2.5 SDS-PAGE 用 Western 印迹法** 参阅文献[7, 8] 的方法, 经选择性多步抽提纯化核基质-中间纤维组分, 进行常规的聚丙烯酰胺凝胶电泳 (SDS-PAGE), Western 印迹法采用 1:1000 稀释的 Vimentin 单克隆抗体 (Sigma) 进行检测.

## 2 结果

导入 neo 基因后的兔网织红细胞 (RR<sub>neo</sub>) 孵育 24 h, 彻底清洗后, 与适当比例的 K<sub>562</sub> 细胞

融合, 24 h 换以含有 G<sub>418</sub> 500 μg/mL 的选择性培养基培养, 结果可见未经融合的 K<sub>562</sub> 细胞第 3 d 起出现颗粒样变性, 第 8 d 前全部死亡; 而与 RR<sub>neo</sub> 融合后的胞质体杂交细胞则在第 12~14 d 于较多死亡细胞的背景下存活(图 1(a)). 20 d 后挑出呈克隆性生长趋势的细胞(图 1(b)), 接种于 500 μg/mL G<sub>418</sub> 的选择性培养基中继续培养, 可见该杂交细胞为较规则球形, 体积较 K<sub>562</sub> 稍大, 定名为 K-RR<sub>neo</sub>.

亲代 K<sub>562</sub> 细胞与胞质杂交体 K-RR<sub>neo</sub> 细胞生长曲线比较, 可见在不含 G<sub>418</sub> 的正常培养基中, K<sub>562</sub> 细胞旺盛生长, 而 K-RR<sub>neo</sub> 细胞生长明显缓慢; 在含 G<sub>418</sub> 500 μg/mL 的选择性培养基中, K-RR<sub>neo</sub> 细胞的生长率与其在正常培养基中基本相同, 而未经融合的 K<sub>562</sub> 细胞却不能生长, 并逐渐死亡(图 2).

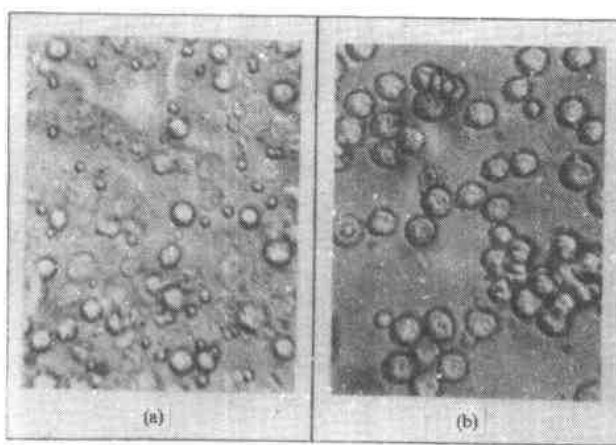


图 1 转染 neo 基因的兔网织红细胞与 K<sub>562</sub> 细胞融合形成的胞质杂交体细胞

- (a) 融合后第 14 d, 可见杂交细胞在较多死亡细胞的背景下存活,
- (b) 融合后第 20 d, 可见杂交细胞呈克隆性生长趋势

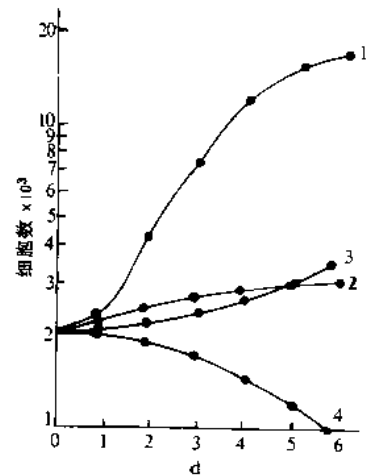


图 2 K<sub>562</sub> 细胞与 K-RR<sub>neo</sub> 细胞的生长曲线  
1—K<sub>562</sub> 细胞在正常培养基中, 2—K-RR<sub>neo</sub> 细胞在正常培养基中, 3—K-RR<sub>neo</sub> 细胞在 G<sub>418</sub> 选择性培养基中, 4—K<sub>562</sub> 细胞在 G<sub>418</sub> 选择性培养基中

采用 c-myc 探针对 K<sub>562</sub> 细胞、K-RR<sub>neo</sub> 细胞的 RNA 进行了 Northern 印迹法检测, 结果显示, K<sub>562</sub> 细胞 c-myc 基因表达呈强阳性, K-RR<sub>neo</sub> 细胞 c-myc 表达明显降低(图 3(b)); 用激光光密度扫描仪(UHro-Scan XL, Pharmacia)定量处理, 两者的黑度峰值面积分别为 17.853 (K<sub>562</sub>) 及 10.425 (K-RR<sub>neo</sub>). 相同样品进行 β-Hb 探针杂交, 结果可见 K-RR<sub>neo</sub> 细胞出现较弱的阳性杂交带, 而 K<sub>562</sub> 细胞则呈阴性(图 3(c)), 提出红系细胞分化的标志基因 β-Hb 在 K-RR<sub>neo</sub> 细胞中可能被激活表达.

为防止 α-Hb 或 γ-Hb 等非特异性杂交结果的出现, 进一步选用了一对 β-Hb 特异的引物, 进行了 RT-PCR 扩增. 结果可见 K<sub>562</sub> 细胞的 RT-PCR 表现为阴性, 而 K-RR<sub>neo</sub> 则在 158 bp 处出现明确的阳性带(图 4), 表明 K-RR<sub>neo</sub> 细胞中已开始有 β-Hb 的表达.

为避免由于引物等原因可能出现的假阳性结果, 将 RT-PCR 阳性产物克隆于 pUC18 载体中, 进行了 DNA 序列分析, 从部分序列的放射自显影结果(图 5), 经 GeneBank 基因数据库计算机分析, 表明 RT-PCR 扩增的 cDNA 确实来自 β-Hb mRNA, 进一步证实了融合后的胞

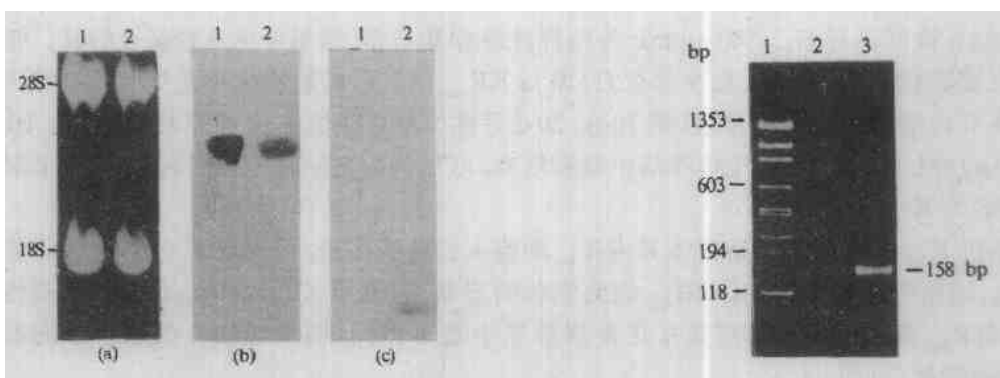


图 3 RNA 电泳及 Northern 印迹检测

(a) RNA 电泳图谱, 样品分别取自: 1—K<sub>562</sub> 细胞, 2—K-RR<sub>neo</sub> 细胞; (b) Northern 印迹检测, 探针为 c-myc DNA, 样品 1, 2 同上; (c) Northern 印迹检测, 探针为 β-Hb DNA, 样品 1, 2 同上

质杂交体 K-RR<sub>neo</sub> 细胞已进入了分化状态.

K<sub>562</sub> 细胞属于中胚层来源的细胞, 胞质的中间纤维蛋白应为波形蛋白. 经选择性多步抽提后, 得到的核基质 - 中间纤维组分进行 SDS-PAGE, 然后以 Vimentin 单克隆抗体进行 Western 印迹检测, 可见 K<sub>562</sub> 细胞在 55 ku 处出现明显的阳性杂交带, 但 K-RR<sub>neo</sub> 细胞则只有较弱的阳性杂交带(图 6).

进一步提取两种细胞的 RNA, 以 Vimentin cDNA 探针进行 Northern 印迹检测, 结果可

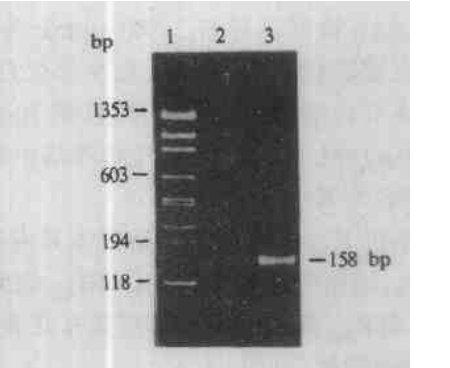


图 4 RT-PCR 扩增产物电泳图

1—DNA Size Marker Φ174/Hae III, 2—K<sub>562</sub> 细胞, 3—K-RR<sub>neo</sub> 细胞

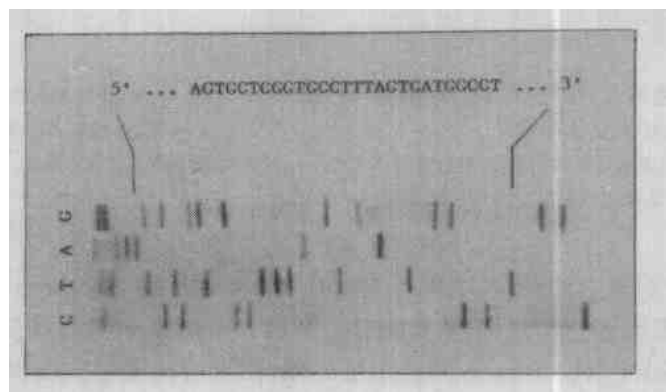


图 5 RT-PCR 阳性产物 DNA 序列分析  
示 27 bp 的 cDNA 序列, 相当于 β-珠蛋白基因第二个外显子的一部分

见 K<sub>562</sub> 细胞中 Vimentin mRNA 呈高表达, 而 K-RR<sub>neo</sub> 细胞则基本检测不到阳性杂交信号(图 7), 表明 K-RR<sub>neo</sub> 细胞中 Vimentin 蛋白的减少, 可能是由于 Vimentin 基因被关闭的缘故.

### 3 讨论

本实验室既往制作胞质体杂交细胞所采用的实验模型是: 先将骨髓瘤细胞通过诱导突变、抗性筛选, 使其成为 HGPRT<sup>-</sup> 缺陷株, 进而与富含 HGPRT 酶的网织红细胞融合, 利用 HAT 选择性培养基筛选出杂交细胞株<sup>⑨</sup>, 此方面需时较长(至少 3~6 个月), 工作量较大,

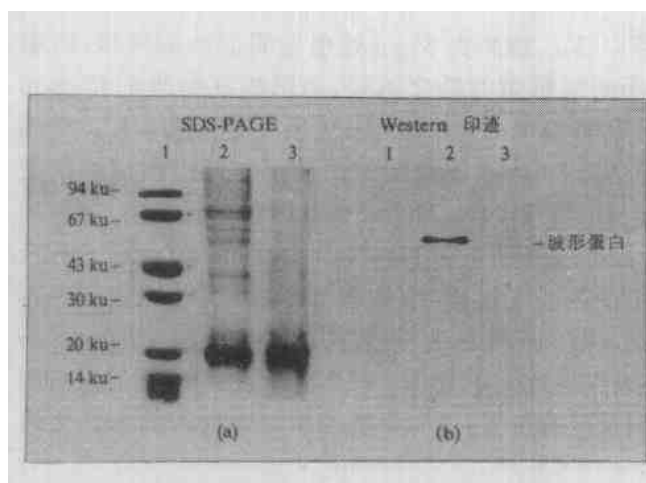


图 6 K<sub>s62</sub> 细胞及 K-RR<sub>neo</sub> 细胞核基质 - 中间纤维组分 SDS-PAGE 及 Western 印迹检测结果

(a) SDS-PAGE 1——标准蛋白分子量, 2——K<sub>s62</sub> 细胞, 3——K-RR<sub>neo</sub> 细胞; (b) Western 印迹检测结果, 1, 2, 3 同上

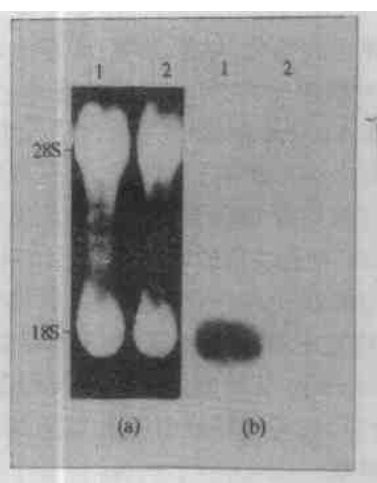


图 7 K<sub>s62</sub> 细胞、K-RR<sub>neo</sub> 细胞 RNA 电泳及 Vimentin cDNA 探针的 Northern 印迹检测结果

(a) RNA 电泳, 1——K<sub>s62</sub> 细胞, 2——K-RR<sub>neo</sub> 细胞; (b) Northern 印迹, 1, 2 同上

且由于致突变剂 MNNG 的强烈致畸致癌作用, 给实验操作带来不便或影响亲代细胞的其它生物学特性, 同时还由于网织红细胞中已基本没有核基因组的存在, 其 HGPRT 阳性仅是由于胞质中存有 HGPRT 酶及相应的 mRNA 之故, 但后两者均具有一定的半衰期, 融合后的细胞并不能从遗传基因水平使获得的 HGPRT 表型得以维持, 因此, 难以稳定地筛选融合细胞。近年来, 利用表达性外源基因导入细胞的方法可替代诱导突变得到同样效果, 即将可供筛选的标记基因导入细胞, 使之成为新的遗传标志, 再用特定的选择性培养基进行筛选<sup>[2]</sup>。然而, 迄今为止, 外源基因导入的靶细胞均为有核细胞。本文采用脂质素转基因方法将外源基因 neo 导入无核的网织红细胞中, 使之成为标记基因的携带者, 进而与人红白血病 K<sub>s62</sub> 细胞融合, 利用 neo 基因对 G<sub>418</sub> 的抗性, 成功地筛选出胞质杂交体 K-RR<sub>neo</sub> 细胞, 此方法大大方便了融合、筛选过程, 为研究胞质因子对肿瘤细胞恶性表型的调控提供了良好的实验模型。

利用上述模型, 本文比较研究了人红系来源的红白血病细胞 K<sub>s62</sub> 杂交前后的生长率、原癌基因 c-myc 的表达以及标志红系细胞分化的 β-Hb 基因表达情况, 结果发现融合后的胞质杂交体 K-RR<sub>neo</sub> 细胞生长明显缓慢, c-myc 表达降低, 原亲代 K<sub>s62</sub> 细胞不表达的 β-Hb 基因得以激活表达。上述结果又一次证实了网织红细胞中确实存在一种抑制 K<sub>s62</sub> 细胞生长, 并促进其分化的胞质因子, 为进一步探讨胞质因子对红系肿瘤细胞恶性表型的调控奠定了基础。

核基质 - 中间纤维体系是近年来新发现的一种细胞内重要结构。越来越多的研究者们注意到该体系与细胞分化、基因表达调控密切相关<sup>[10]</sup>, 大量的研究表明, 核基质不仅是维持核形态, 提供 DNA/RNA 空间支架的重要结构, 而且也参与了 DNA, RNA 的复制、转录、修饰等基本生命过程<sup>[11]</sup>; 波形纤维还可能具有维持基因表达活性的功能, 并可能通过核纤层直接或间接地与核基质相互协调, 共同调节基因表达<sup>[12]</sup>, 为此, 研究核基质 - 中间纤维体系在红系肿瘤细胞逆分化过程中的特征改变, 有可能为 EDDF 的作用机制提供重要的新线索。

我们采用免疫印迹、分子杂交及整装电镜技术, 研究了 K<sub>s62</sub> 细胞杂交前后的核基质 - 中间

纤维体系的变化,结果发现,在 Western 印迹中, $K_{562}$  细胞在 55 ku 处出现明显的阳性带,而融合后的胞质杂交体  $K\text{-}RR_{neo}$  细胞,则检测不到或极微的杂交条带,与网织红细胞的状态相同。用 Vimentin cDNA 探针进行 Northern 印迹检测,检测不到阳性杂交带,亦与  $K_{562}$  细胞之呈高表达形成明显对照。表明可能是由于 Vimentin 基因关闭的结果。与前边报道的整装电子显微镜观察到  $K\text{-}RR_{neo}$  细胞的中间纤维构型与亲代  $K_{562}$  细胞放射状构型明显不同,而呈现与网织红细胞类似的网格状构形结果一致<sup>[2]</sup>。提示,细胞生长与分化特征的改变,可能与胞质中间纤维构型的改变有一定的关系。我们认为可能存在以下机制:细胞融合后,网织红细胞质中存在的 EDDF 作用于核基质-DNA 结构,激活  $\beta\text{-Hb}$  基因表达,同时关闭 c-myc 及 Vimentin 基因;Vimentin 基因的关闭导致波形蛋白表达减少甚至消失,胞质中波形纤维重新排列,并逐渐解聚、断裂,后者间接或直接影响核基质的结构及核的位置,进而促使红系细胞进入终末分化而发生排核。

综上所述,本文采用基因工程与细胞工程相结合的手段,建立了一个制备胞质杂交体的新方法,并利用该方法所建立的实验模型,系统地研究了兔网织红细胞胞质因子对人红系来源的红白血病细胞  $K_{562}$  生长与分化特性的影响,又一次证实了 EDDF 的存在,且发现 EDDF 对红系来源的肿瘤细胞恶性表型同样具有调控作用。为最终阐明红系细胞分化、排核的分子细胞生物学机制提供了理论依据。

### 参 考 文 献

- 薛社普. 哺乳类红细胞分化调节因子对骨髓瘤细胞恶性调控的研究. 解剖学报, 1991, 22(3): 225~234
- 马文丽, 薛社普. 兔网织红细胞与  $K_{562}$  细胞胞质杂合体( $K\text{-}RR_{neo}$ )核基质-中间纤维体系的研究. 实验生物学报, 1993, 26(4): 377~387
- Southern P J, Berg P. Transformation of mammalian cells to antibiotic resistance with a bacterial gene under control of the SV40 early region promoter. J Mol Genet, 1982, 1(2): 327~331
- Liu D, Chang J C, Moi P et al. Dissection of the enhancer activity of B-globin 5' DNase I hypersensitive site 2 in transgenic mice. Proc Acad Sci USA, 1992, 89: 3 899~3 903
- Yaswen P. Expression of c-k<sub>1</sub>-ras, c-Ha-ras and c-myc in special cell types during hepatocarcinogenesis. Mol Cell Biol, 1985, 5: 780
- Sambrook J, Fritsch E F, Maniatis T. Molecular Cloning: A Laboratory Manual. 2nd ed. New York: Cold Spring Harbor Laboratory Press, 1989. 1 121.
- Burnette W N. Western blotting: electrophoretic transfer of proteins from SDS-PAGE to unmodified nitrocellulose and radiographic detection with antibody and radioiodinated protein. Annal Biochem, 1981, 112(1): 195~201
- 马文丽, 薛社普.  $K_{562}$  细胞核基质-中间纤维整装电镜观察. 解剖学报, 1993, 24(2): 168~171
- 刘友华, 薛社普. 胞质因子对人早幼粒白血病细胞恶性表型和基因表达的调控. 中国科学, B 辑, 1987, (8): 853~859
- Hentzen P C, Rho J H, Bekhor I. Nuclear matrix DNA from chicken erythrocyte contains B-globin gene sequences. Proc Natl Acad Sci USA, 1984, 81: 304~307
- 陈枫, 翟中和. 细胞核骨架. 细胞生物学杂志, 1989, 11(2): 49~51
- Kooijman M, Bloemendaal M, Traub P. Fluorescence study of the nucleic acid binding site of vimentin. FEBS Lett, 1992, 302(2): 177~180